

## 浮遊砂の濃度変動の特性について

京大防災研究所 正 天野 勝正

" " 道上 正規

兵庫県土木部 " 白川 清

1. 緒言 水流の土砂の輸送過程の一形態として、乱れによって現象が支配されいる浮遊砂の運動がある。水流の乱れによって規定される浮遊砂濃度は当然のことながら不規則な変動を呈しており、これらの変動量を測定、把握することは適切な平均濃度や土砂拡散係数を知るために必要であると言えられる。そのためには、まず浮遊砂濃度の連続記録とする装置の開発が必要である。ここでは、以降の方法に基づいて濃度計の特性ばかりでそれによって測定した濃度変動および浮遊砂を含む流れの乱れに関する測定結果について述べる。

2. 濃度計の概要 浮遊砂濃度の連続測定を行うために、光学的濃度を測定する方法が本間・堀川・周辺<sup>1)</sup>によって考案され、まだ最近では同様の手法によつて Bhattacharya-Glover-Kennedy<sup>2)</sup>によって開発研究されている。著者らも同様の方法で濃度計を開発し、その問題点を考えてみることにした。まず、光の波長が砂粒半径に比較して十分小さいう場合には、光量の減少量は砂粒の断面積による遮蔽効果が支配的であることが知られていく。したがつて、遮蔽による光量の減少量を本間らにからめて式で一般的に表すとつぎのようになる。

$$\frac{I}{I_0} = \exp \left\{ -3/2 \cdot C S_0 / (S_p d_m) (1 + \sigma^2 / d_m^2) L \right\} \quad (1)$$

ここに、 $I_0$  : 光源からの光量  
 $I$  : 濃度(重量濃度)  
 $S_0$  : 砂あるいは水の密度  
 $d_m$  : 平均粒径  
 $\sigma$  : 砂粒の標準偏差  
 である。 $(1)$ 式から明らかなように、 $d_m$  のが既知であれば、光量の減少量を測定すると濃度が測定できることになる。

ここではこうした原理に基づいて、光源としては安定でかつ波長0.94  $\mu$ m(近赤外)で非常にシャープなスペクトル特性を有するシリコンフォトダイオードからウム砒素発光ダイオードを用い、受光器としてはこの発光ダイオードからの光量を受け取るために適したシャープシリコンネットランジスターを使用し、受光面にあける光量の増減を電圧変換して濃度を測定することとした。(図-1 参照) いま、 $K = (1 + \sigma^2 / d_m^2)$  とおき、この式を(1)式に代入すると、

$$\frac{I}{I_0} = \exp \left( -3/2 \cdot S_0 / S_p \cdot K \cdot L \cdot C / d_m \right) \quad (2)$$

のようになる。しかしながら(1)式より(2)式からわかるように、混合砂の場合には $d_m$  のあるが未知量となって濃度の測定はできなくなつて、ここではできるだけ一粒の砂を用意することとした。使用砂は $d_m = 0.097 \text{ mm}$ (A77),  $0.034 \text{ mm}$ (B77),  $(W_{50}/W_{16})^{1/2}$ ; 1.23(A77), 1.24(B77)である。ここでは砂が一粒であると仮定して、 $K=1$ ,  $S_0 = 1.07 \text{ g/cm}^3$ ,  $S_p = 2.65 \text{ g/cm}^3$ ,  $L=3 \text{ mm}$ として(2)式を書き下すと、つぎのようになる。

$$\frac{I}{I_0} = \exp \left( -1.700 \times 10^{-6} \cdot C / d_m \right) \quad (3), \quad \Delta I / I_0 = 1.700 \times 10^{-6} \cdot C / d_m \quad (4)$$

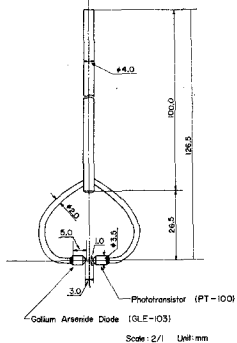


図-1 濃度計検出部

ここで、 $C$ ; ppm単位,  $dm$ ; mm単位,  $\Delta I = I_0 - I$ である。一方、充量の減少を電圧変換して記録するので、 $\Delta I/I_0 = \Delta V/V_0$ の関係が成立する。 $V_0$ ; 濃度0の場合の出力電圧,  $\Delta V$ ; 濃度0の出力電圧からある濃度の場合の出力電圧を引いたものである。図-2は濃度計による記録とサイフォン方式による浮遊砂濃度との比較を示したものであり、(4)式の理論式 ( $\Delta V/V_0 = 1.700 \times 10^6 C/dm$ ) と実験値 ( $\Delta V/V_0 = 1.705 \times 10^6 C/dm$ ) は予想以上に非常によく一致している。このことから、光路長さが砂粒径よりも十分小さく ( $l/dm; 0.97 \sim 2.76 \times 10^{-2}$ ), しかもそのスペクトル特性がシャープで、一粒砂を使用する範囲にありては十分な精度でこの装置は濃度計として使用しうることが明らかにされた。また、(2)式から明らかなように、光源と漫光面との距離が大きくなると線型性が成立する範囲は小さくなる。

3. 濃度変動と乱れの特性 一般に浮遊砂を含み流れでは、乱れエネルギーは減衰し、平均流の速度こう配は増加(カルマン定数の変化)すると言われていい。この実験では、回転式流速計を用いて、濃度の変化による流れ方向の乱れの強度を測定した結果、図-3に示すように濃度の增加とともに乱れ強度は若干増加していく傾向がうかがえる。流速計の精度にも限度があり、まだじ成成分のみしか測定していいので、明確な結論は今後の精密な測定を待たなければならぬが、カルマン定数の減少があるにとかかわらず、乱れ強度の若干の増加が認められる。Euler的 integral scale  $L_x$ も濃度の増加に対してわずかに増大する傾向にあり、今までの研究によつてカルマン定数の減少の説明に用いられてきた濃度の増加とともに乱れスケールの減少という考え方では、この実験結果は説明できまいように思われる。つぎに、平滑な河床工の濃度変動の強度を測定した結果、この値は  $0.05 \sim 0.15$  程度であり、乱れ強度よりもむづかに大きくなるのであるが、そのスペクトルは図-5に1例を示すように、乱れのスペクトルとはかなり相違していい。乱れのスペクトルは  $0.8 Hz (\bar{D}/dh = 16)$  においてピーク値を示し、それより高周波側では Kolmogorov の  $-5/3$  法則の理論に近い関係で低減していくが、一方濃度変動は低周波側では流速と類似してスペクトル構造を有していゝが、 $n = 2 \sim 6 Hz (\bar{D}/dh = 3 \sim 5)$  から高周波側ではより低減特性がこなり、ホワイトノイズ的なスペクトル構造を有していゝようである。こうして現象は鉛直成分の乱れのスペクトル構造と関係していゝものと思われ、今後土砂拡散係数の測定と関連して鉛直成分の乱れの測定が比較要であると考えられる。砂漿が存在する河床工の測定結果については講演時に述べる予定である。

1) 本間ら: 土木学会年次講演会, II-69(1969)

2) Bhattacharya etc; 13th IAHR, B-25(1969)

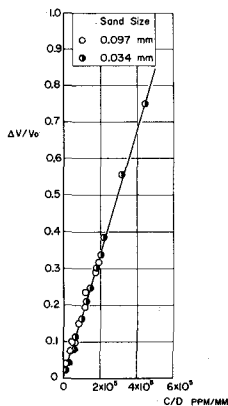


図-2 濃度計の検定

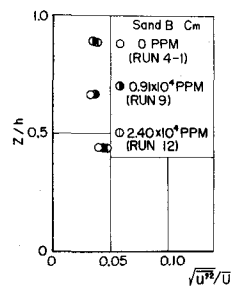


図-3 乱れ強度  
( $h=4.5cm, i=1/100$ )  
 $D=100cm/s$

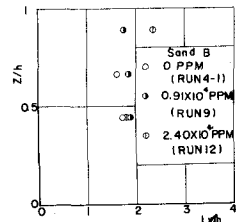


図-4 乱れスケール

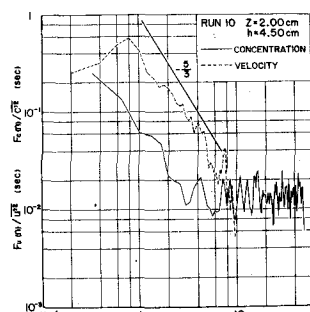


図-5 濃度・流速のスペクトル